

MRアンジオグラフィによる脳動脈瘤のスクリーニング

馬淵順久¹, 津田永明², 福山秀直³, 小川雅文³,
竹市康裕², 有馬成紀⁴, 川上朗¹, 中川賢一¹,
杉浦守邦⁵, 石田修⁶

¹蘇生会総合病院放射線科

³京都大学医学部神経内科

⁵蘇生会総合病院健診センター

²蘇生会総合病院脳神経外科

⁴蘇生会総合病院神経科

⁶近畿大学医学部放射線科

はじめに

MR アンジオグラフィ (MRA) は近年開発された画像診断技術であり、非侵襲的かつ短時間に血管構造の描出が可能となつた^{1),2)}。現時点での MRA は従来の血管造影に比し空間分解能が劣りそれに代替し得るものではないが、スクリーニング検査としては役立つ可能性がある。

本論文の目的は脳動脈瘤のスクリーニングにおける MRA の有用性と動脈瘤検出における問題点を明らかにすることである。

対象及び方法

対象は当院健診センター及び外来受診者で、脳血管障害のスクリーニングを希望して MRA が行われた 1947 名（男性 1088 名、女性 859 名、8 歳から 89 歳、平均年齢 56.1±11.7 歳）で、同時に行われたスピノエコー法の断層像で multiple lacunar state 以外の脳内器質的病変を有したもののは対象に含めていない。

使用装置は GE 社製 Signa Advantage 1.5 T である。Time of flight (TOF) MRA のパルス系列として flow compensation 併用の

spoiled gradient recalled acquisition in the steady state (SPGR) 法を用い、TR 45 ms, TE 4.7 ms (検査開始初期には 6 ms), flip 角 25°, matrix 256×192, スライス厚 1 mm, slab 厚 32 mm, 積算回数 1, FOV 20~22 cm にて、三次元フーリエ変換法で Willis 動脈輪を中心に横断像の撮像を行った。撮像時間は 4 分 37 秒である。得られた 1 mm 厚の連続 28 枚の 3D 高速スキャン像より、血流信号を maximum intensity projection (MIP) 法により画像再構成し MRA (上下方向と正面から両側面の多方向の projection 像) を得た。

脳動脈瘤の評価は複数の放射線科医と脳神経専門医により、MRA を用い従来の血管造影と同様の診断基準で行った。MRA で脳動脈瘤が疑われた症例に対し血管造影を行った。動脈瘤の大きさは血管造影上の最大径で示す。

結 果

MRA が行われた 1947 名のうち 44 例に脳動脈瘤が疑われた。確認のため血管造影が施行できたのは 25 例で、その所見を表に示す。15 例に 16 個の脳動脈瘤が検出できたが、同時に 10 例の偽

キーワード magnetic resonance angiography, aneurysm, cerebral angiography, MRI

表. 血管造影が施行された25例の所見

症例	年齢	性	MRA 所見	血管造影所見	動脈瘤の大きさ (最大径)
1	65	男	A-com 動脈瘤	A-com 動脈瘤	3 mm
2	59	男	A-com 動脈瘤	A-com 動脈瘤	10 mm
3	57	女	IC 動脈瘤	IC 動脈瘤	3 mm
4	59	男	IC 動脈瘤	IC 動脈瘤	3 mm
5	72	男	IC 動脈瘤	IC 動脈瘤	4 mm
6	48	女☆	IC 動脈瘤	IC 動脈瘤	38 mm
7	56	女	R-ICPC 動脈瘤	R-ICPC 動脈瘤	5 mm
			L-ICPC 動脈瘤	L-ICPC 動脈瘤	3 mm
8	62	男	ICPC 動脈瘤	ICPC 動脈瘤	5 mm
9	63	女	ICPC 動脈瘤	ICPC 動脈瘤	8 mm
10	56	女	ICPC 動脈瘤	ICPC 動脈瘤	10 mm
11	69	男☆	ICPC 動脈瘤	ICPC 動脈瘤	14 mm
12	47	男	MCA 動脈瘤	MCA 動脈瘤	3 mm
13	44	男	MCA 動脈瘤	MCA 動脈瘤	5 mm
14	63	男	MCA 動脈瘤	MCA 動脈瘤	5 mm
15	50	男☆☆	MCA 動脈瘤	MCA 動脈瘤	8 mm
16	47	女	A-com 動脈瘤	A-com の屈曲	
17	59	女	A-com 動脈瘤	A-com の拡張	
18	61	女	IC 動脈瘤	サイフォンの重なり	
19	53	男	IC 動脈瘤	IC の多発狭窄	
20	53	女	ICPC 動脈瘤	IC の屈曲	
21	70	女	ICPC 動脈瘤	IC の屈曲	
22	49	女	ICPC 動脈瘤	junctional dilatation	
23	43	女	ICPC 動脈瘤	junctional dilatation	
24	63	女	ICPC 動脈瘤	junctional dilatation	
25	46	女	ICPC 動脈瘤	junctional dilatation	
			偽陰性	IC 動脈瘤	1 mm

☆ 動脈瘤が疑われた後の診察で動眼神経麻痺が明らかになった症例

☆☆ くも膜下出血の疑いの既往があった症例

A-com : 前交通動脈, IC : 内頸動脈, ICPC : 内頸後交通動脈分岐部,

MAC : 中大脳動脈

陽性と 1 例の偽陰性が明らかになった。

脳動脈瘤例は、男 10 例、女 5 例、44 歳から 72 歳、平均年齢 58.0 ± 7.8 歳であった。局在部位は、前交通動脈 2 個、内頸動脈 4 個、内頸後交通動脈分岐部 6 個、中大脳動脈 4 個で、大きさは 3 mm から 38 mm の範囲であった。この内 1 例はくも膜下出血の疑いの既往を有するが脳動脈瘤の診断には至らず放置されていた症例、2 例は MRA で脳動脈瘤が疑われた後の診察で

動眼神経麻痺が明らかになった症例で、他は脳動脈瘤に起因した神経症状を有さなかった。代表的症例を図 1 ~ 3 に示す。

10 例の偽陽性の内 4 例は junctional dilatation で、他は血管の屈曲や重なり、拡張、狭窄に囲まれた部位を動脈瘤と誤認したものだった。junctional dilatation の 1 例は血管造影で内頸動脈に 1 mm 大の動脈瘤も偶然に見つかったが MRA では検出できなかった。junctional dilata-

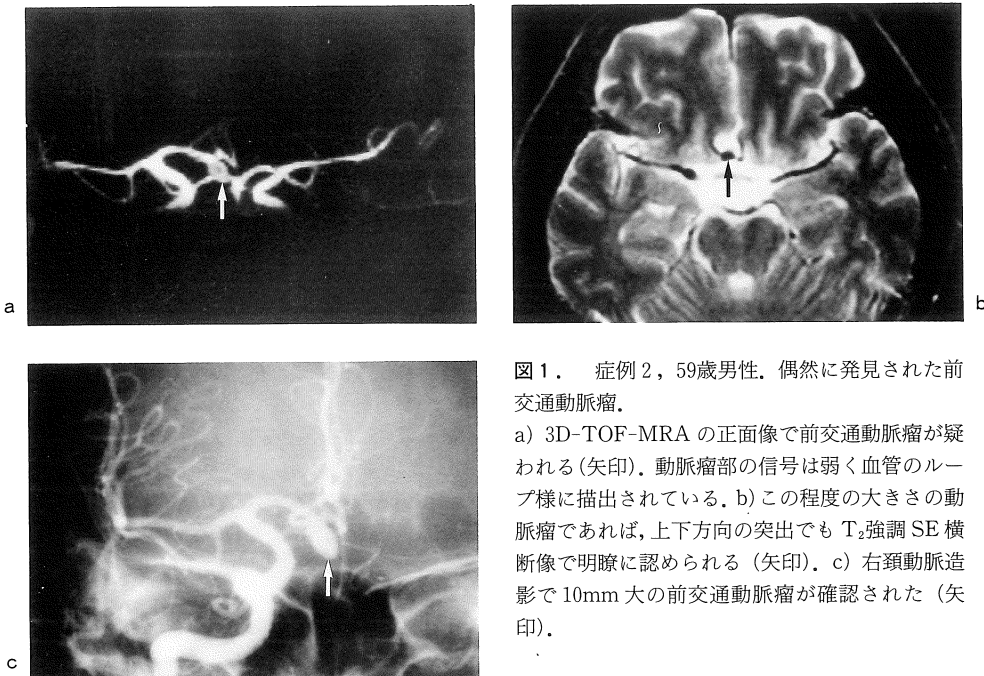


図1. 症例2, 59歳男性. 偶然に発見された前交通動脈瘤.
a) 3D-TOF-MRA の正面像で前交通動脈瘤が疑われる(矢印). 動脈瘤部の信号は弱く血管のループ様に描出されている. b) この程度の大きさの動脈瘤であれば, 上下方向の突出でも T_2 強調 SE 横断像で明瞭に認められる(矢印). c) 右頸動脈造影で 10mm 大の前交通動脈瘤が確認された(矢印).

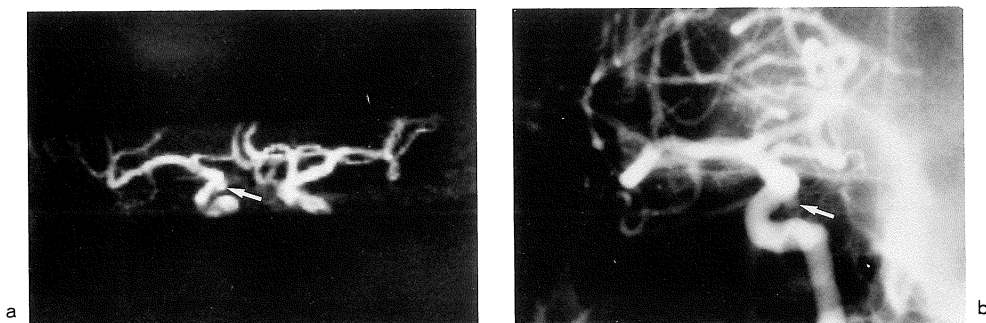


図2. 症例4, 59歳男性. 偶然に発見された右内頸動脈瘤.
a) 3D-TOF-MRA の左前斜位像で右内頸動脈瘤が疑われる(矢印). b) 右頸動脈造影の左前斜位像で 3mm 大の内頸動脈瘤が確認された(矢印). 正および側面像では動脈瘤は描き出されなかった.

tion は MRA では連続する細い血管が描出されないため動脈瘤と誤認されたが, 3D 高速スキャン像では細い血管が描出されている(図4).

考 察

脳動脈瘤のスクリーニングとして造影 CT と IV-DSA が用いられることがあったが, これら

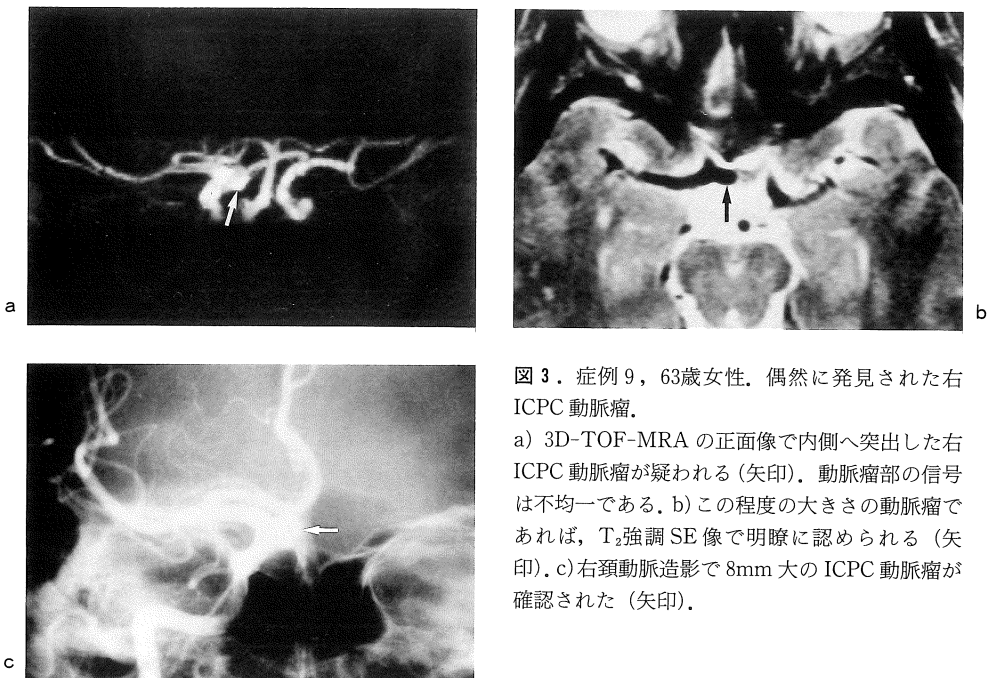


図3. 症例9, 63歳女性. 偶然に発見された右ICPC動脈瘤.
a) 3D-TOF-MRAの正面像で内側へ突出した右ICPC動脈瘤が疑われる(矢印). 動脈瘤部の信号は不均一である. b) この程度の大きさの動脈瘤であれば, T₂強調SE像で明瞭に認められる(矢印). c) 右頸動脈造影で8mm大のICPC動脈瘤が確認された(矢印).

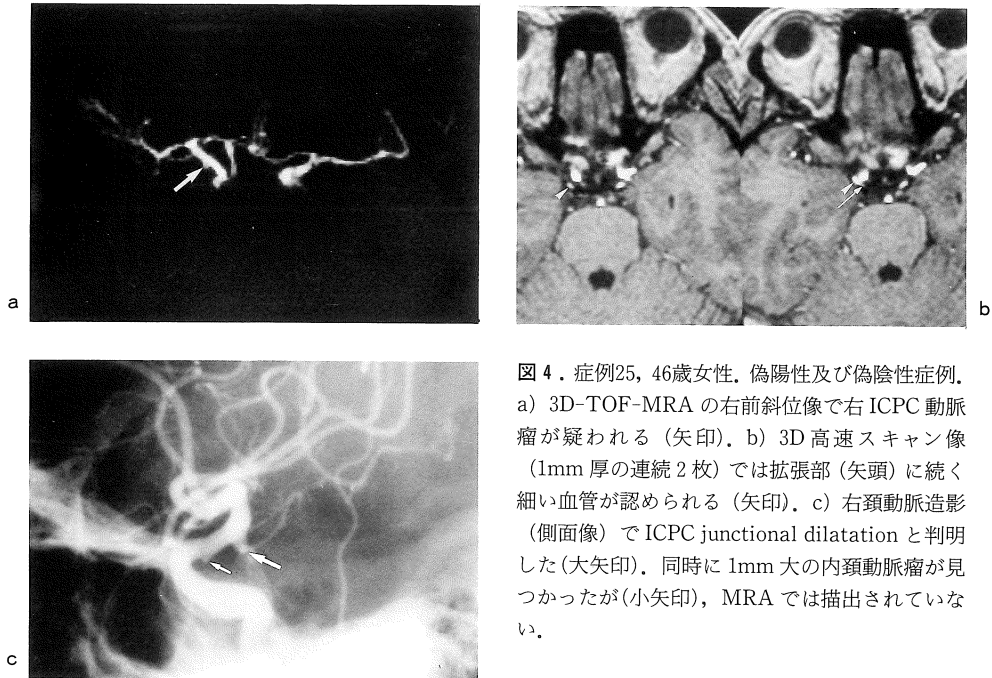


図4. 症例25, 46歳女性. 偽陽性及び偽陰性症例.
a) 3D-TOF-MRAの右前斜位像で右ICPC動脈瘤が疑われる(矢印). b) 3D高速スキャン像(1mm厚の連続2枚)では拡張部(矢頭)に続く細い血管が認められる(矢印). c) 右頸動脈造影(側面像)でICPC junctional dilatationと判明した(大矢印). 同時に1mm大の内頸動脈瘤が見つかったが(小矢印), MRAでは描出されていない.

の方法には検出に限界がある上造影剤を用いる点で侵襲的でもあり一般的に普及には至っていない^{3),4)}。近年MRAの撮像技術が確立され、脳動脈瘤の検出に有用であるという報告が散見され始めた^{5),6)}。MRAは非侵襲的でありしかも短時間に撮像できるため、スクリーニング検査としては最も適したものである。撮像範囲をWillis動脈輪に絞ったのは、ほとんどの破裂脳動脈瘤がこの領域に存在すること、また撮像時間がわずか4分37秒であり従来のルーチン検査であるスピニエコー法による断層撮像に追加可能な範囲の時間であることによる。

今回の対象は脳血管障害のスクリーニングを希望して検査を受けたものであるが、何らかの神経症状の訴えを有していたものも多く、厳密にはスクリーニングとはいえないかもしれない。しかしmultiple lacunar state以外の脳内器質的病変を有していたものは対象に含めておらず、対象は一般的な健常人に近いものと考える。

脳動脈瘤は全剖検例の約1～2%にみられ⁷⁾、

また血管造影でWillis動脈輪前半部に偶然見つかったのは約1%である⁸⁾。我々はスクリーニング検査として行ったMRAで1947名中44例に脳動脈瘤の疑いを指摘した。この内血管造影で確認したものは15例で、未確認例は19例であることより、実際の検出頻度は0.77%から1.75%の範囲に含まれるものと考えられる。Willis動脈輪を中心とした約3cmの範囲に絞った検査であるが充分な検出頻度が得られたものと考えられる。しかし他の10例は血管造影で偽陽性と確認された。

今回1例の偽陰性も明らかになったが1mm大の微小動脈瘤で、MRAのvoxel sizeが約1mmであり分解能の限界と考えられる。スクリーニング検査においては偽陰性が問題となるところであるが、今回の検討ではすべてに血管造影を行っていないためその評価はできない。対象以外の症例であるが、MRAで偽陰性であった4mm大の脳動脈瘤症例を偶然に経験した。その症例の3D高速スキャン像では動脈瘤部の弱い血

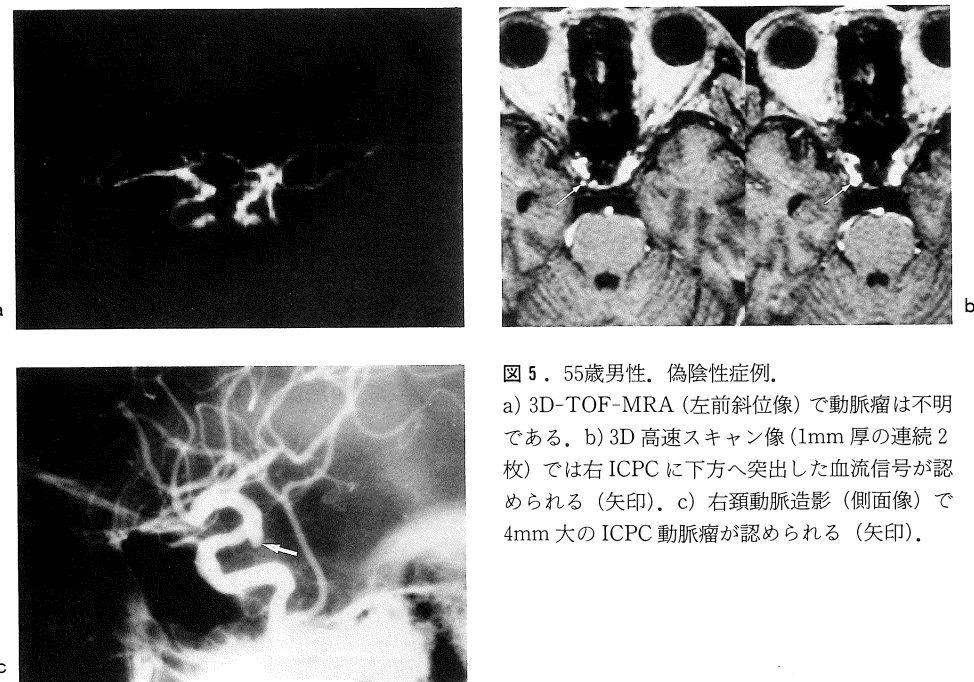


図5. 55歳男性。偽陰性症例。

a) 3D-TOF-MRA (左前斜位像)で動脈瘤は不明である。b) 3D高速スキャン像(1mm厚の連続2枚)では右ICPCに下方へ突出した血流信号が認められる(矢印)。c) 右頸動脈造影(側面像)で4mm大のICPC動脈瘤が認められる(矢印)。

流信号が描出されており、MIP処理により再構成されたMRAでは同部の弱い信号が消されたものと考えられる(図5)。このような症例が存在することよりMRAの読影だけでは偽陰性が避けられないものと考えられる。

偽陽性の中のjunctional dilatationは4例であったが、この内3D高速スキャン像で拡張部に続く細い動脈を指摘できたものは3例あり、MIP処理により細い血管がMRAで描出されなかつたものと考えられる。読影の際にはMRAの元データである3D高速スキャン像を1枚1枚慎重に見ていく必要があり、偽陽性や偽陰性を減らすことができるものと考えられる。その他の偽陽性(症例16-21)は、血管の屈曲や重なり、拡張、狭窄に囲まれた部位を動脈瘤と誤認したもので、不充分な空間分解能、乱流や狭窄の過大評価といったMRAの限界⁹⁾により生じたものである。これらの偽陽性は検査を開始した早期の症例であり、読影の熟練によりある程度防げるものと考えられる。

図1、3で示した様に、動脈瘤内の乱流・渦流による影響でMRAでは大きな動脈瘤は不明瞭化する傾向がみられた。比較的大きな動脈瘤ではSE断層像で診断は充分可能であり、SE断層像の併用も必要である。

今後、MRAの普及に伴い未破裂脳動脈瘤が頻回に検出されてくることが予想される。予防的手術によりくも膜下出血の頻度は減少するであろうが、未破裂脳動脈瘤の治療のガイドラインが早期に作製されることが望まれる。

ま　と　め

- 1) 3D time of flight MRAにより、Willis輪を中心に脳動脈瘤のスクリーニングを行った。
- 2) 1947名中44例に脳動脈瘤が疑われた。その内25例に血管造影を行ない15例に動脈瘤が確認できた。

- 3) MRAの限界により偽陰性、偽陽性は避けられない。MRAの読影だけでは不充分であり、MRAの元データである3D高速スキャン像、SE断層像を合わせてみていく必要がある。
- 4) MRAには限界があるが、非侵襲的スクリーニング検査で最小3mm大、少なくとも0.77%に脳動脈瘤を検出できたことは予防医学的に意義の大きいことである。

文　献

- 1) Masaryk TJ, Modic MT, Ross JS, et al. : Intra-cranial circulation : Preliminary clinical results with three-dimensional (volume) MR angiography. Radiology, 171 : 793-799, 1989.
- 2) Ross JA, Masaryk TJ, Modic MT, et al. : Magnetic resonance angiography of the extracranial carotid arteries and intracranial vessels : A review. Neurology, 39 : 1369-1376, 1989.
- 3) Asari S, Satoh T, Sakurai M, et al. : Delineation of unruptured cerebral aneurysms by computerized angiotomography. J Neurosurg, 57 : 527-534, 1982.
- 4) Carmody RF, Smith JRL, Seeger JF, et al. : Intracranial applications of digital intravenous subtraction angiography. Radiology, 144 : 529-534, 1982.
- 5) Ross JS, Masaryk TJ, Modic MT, et al. : Intra-cranial aneurysms : Evaluation by MR angiography. AJNR, 11 : 449-456, 1990.
- 6) Sevick RJ, Tsuruda JS and Schmalbrock P : Three-dimensional time-of-flight MR angiography in the evaluation of cerebral aneurysms. J Comput Assist Tomogr, 14 : 874-881, 1990.
- 7) 半田 肇：脳神経外科学。永井書店、大阪、1979, P. 580-614.
- 8) Atkinson JLD, Sundt TMJ, Hoser OW, et al. : Angiographic frequency of anterior circulation intracranial aneurysms. J Neurosurg, 70 : 551-555, 1989.
- 9) Anderson CM, Saloner D, Tsuruda JS, et al. : Artifacts in maximum-intensity-projection display of MR angiograms. AJR, 154 : 623-629, 1990.

Screening of Intracranial Aneurysms by MR Angiography

Nobuhisa MABUCHI¹, Eimei TSUDA², Hidenao FUKUYAMA³,
Masafumi OGAWA³, Yasuhiro TAKEICHI², Seiki ARIMA⁴,
Akira KAWAKAMI¹, Kenichi NAKAGAWA¹, Morikuni SUGIURA⁵,
Osamu ISHIDA⁵

¹*Department of Radiology, Soseikai General Hospital
Simotoba Hiroosa-cho, Fushimi-ku, Kyoto 612*

²*Department of Neurosurgery, Soseikai General Hospital*

³*Department of Neurology, Faculty of Medicine, Kyoto University*

⁴*Department of Neuropsychiatry, Soseikai General Hospital*

⁵*Department of Health Administration Center, Soseikai General Hospital*

⁶*Department of Radiology, Kinki University School of Medicine*

The circle of Willis was examined for screening by three-dimensional time-of-flight magnetic resonance angiography (MRA) in 1947 subjects. Forty-four subjects were suspected of having aneurysms by MRA, and among them, conventional angiography was performed in 25 subjects. Fifteen subjects were found to have aneurysms (3 to 38mm in diameter), ten other subjects were false positive. A false negative case was also found incidentally. A number of limitations in MRA; insufficient spatial resolution, overestimation of blood turbulence or stenosis, and loss of visualization of small vessels or small flowing vessels, often caused false positive and false negative. It was very important from our experience to evaluate aneurysms by using MRA, 3D partition images and SE images systematically. In spite of these problems, it is very worthwhile to be able to detect even a 3mm-size small aneurysm noninvasively. It would be promising that MRA for screening aneurysms could prevent subarachnoid hemorrhage.